



UNIVERSIDADE FEDERAL RURAL DO SEMI-ÁRIDO (UFERSA)  
CENTRO MULTIDISCIPLINAR DE PAU DOS FERROS (CMPF)  
DEPARTAMENTO DE ENGENHARIAS E TECNOLOGIA (DETEC)

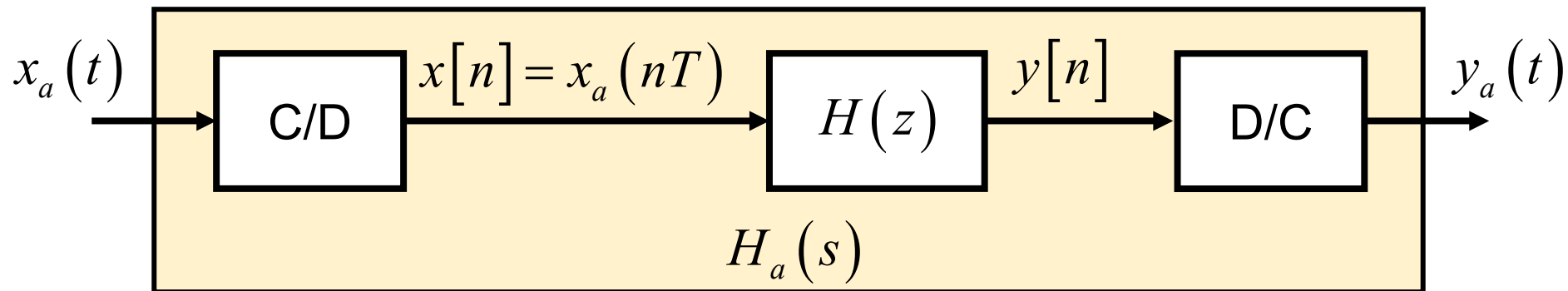
PROCESSAMENTO DIGITAL DE SINAIS

# Discretização de Sistemas de Tempo Contínuo

Prof.: Pedro Thiago Valério de Souza  
UFERSA – Campus Pau dos Ferros  
[pedro.souza@ufersa.edu.br](mailto:pedro.souza@ufersa.edu.br)

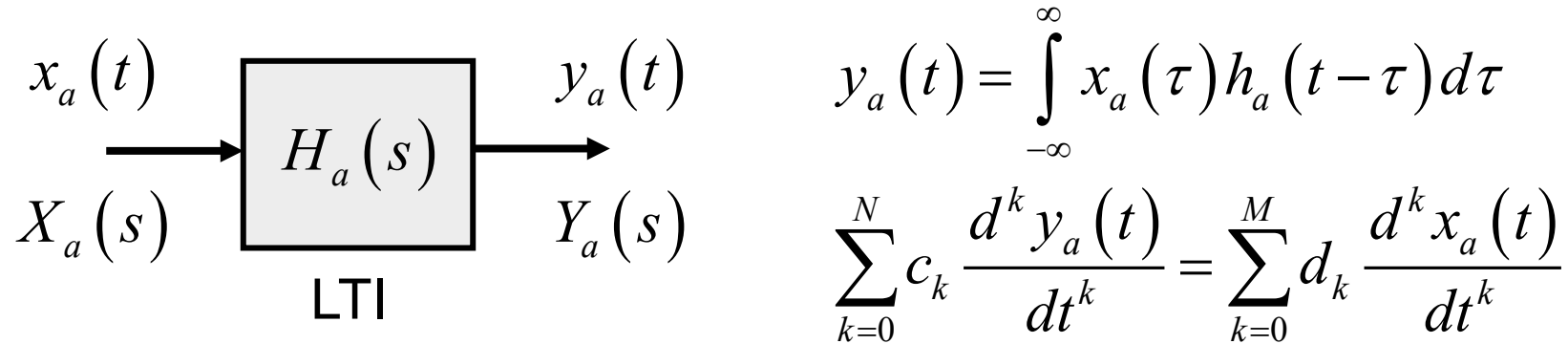
# Conceitos Fundamentais

- Discretização: Converter um sistema de tempo contínuo em um sistema de tempo discreto, de forma a preservar a máxima quantidade possível de características do sistema de tempo contínuo original;
- Aplicações:
  - Simulação computacional;
  - Implementação de sistemas de tempo contínuo em tempo discreto.



# Conceitos Fundamentais

Características do sistema de tempo contínuo:



$$\mathcal{L} \left\{ \sum_{k=0}^N c_k \frac{d^k y_a(t)}{dt^k} \right\} = \mathcal{L} \left\{ \sum_{k=0}^M d_k \frac{d^k x_a(t)}{dt^k} \right\}$$

$$\sum_{k=0}^N \mathcal{L} \left\{ c_k \frac{d^k y_a(t)}{dt^k} \right\} = \sum_{k=0}^M \mathcal{L} \left\{ d_k \frac{d^k x_a(t)}{dt^k} \right\}$$

$$\sum_{k=0}^N c_k \mathcal{L} \left\{ \frac{d^k y_a(t)}{dt^k} \right\} = \sum_{k=0}^M d_k \mathcal{L} \left\{ \frac{d^k x_a(t)}{dt^k} \right\}$$

# Conceitos Fundamentais

Características do sistema de tempo contínuo:

$$\sum_{k=0}^N c_k s^k Y_a(s) = \sum_{k=0}^M d_k s^k X_a(s)$$

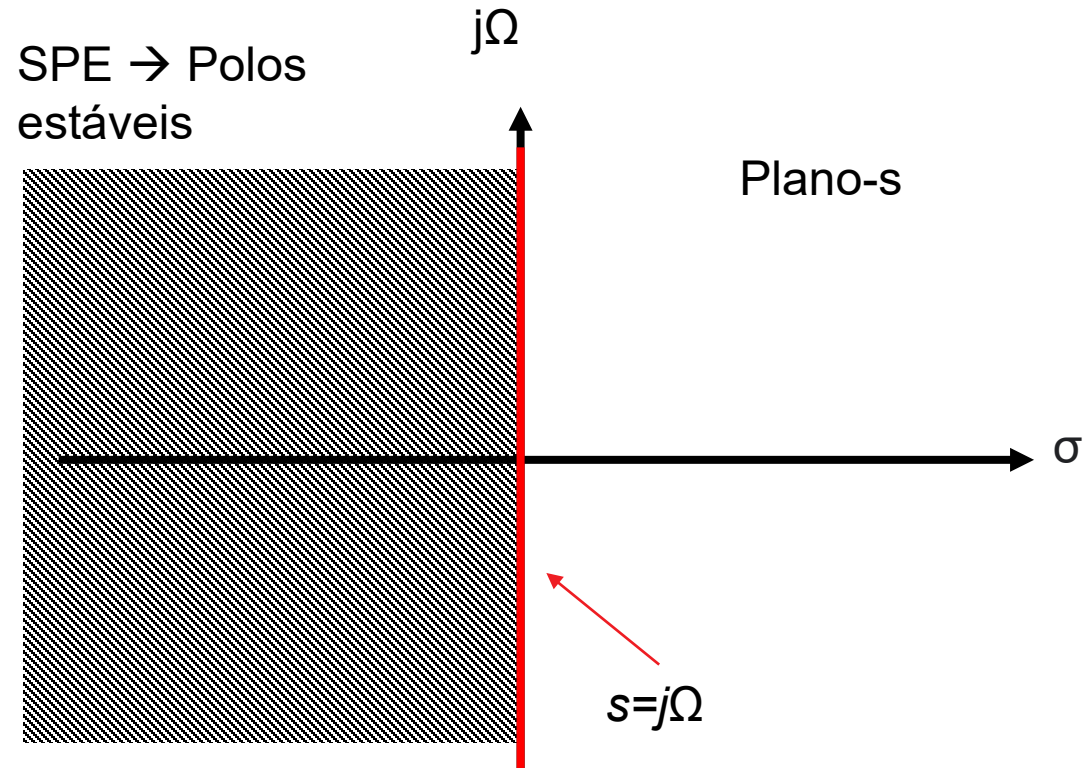
$$Y_a(s) \sum_{k=0}^N c_k s^k = X_a(s) \sum_{k=0}^M d_k s^k$$

$$\frac{Y_a(s)}{X_a(s)} = H_a(s) = \frac{\sum_{k=0}^M d_k s^k}{\sum_{k=0}^N c_k s^k} \quad (\text{Função transferência})$$

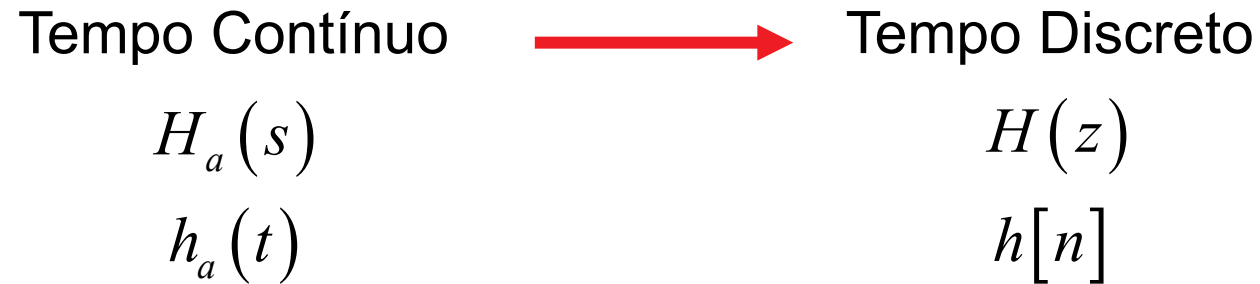
Resposta em Frequência:  $H_a(j\Omega) = H_a(s) \Big|_{s=j\Omega}$

# Conceitos Fundamentais

Características do sistema de tempo contínuo:

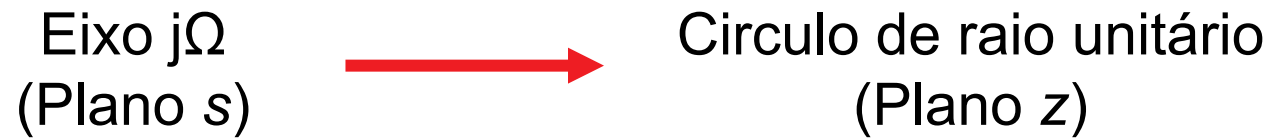


# Conceitos Fundamentais



Condições desejáveis (nem todas atendidas):

- Manter as características da resposta em frequência;



- Manter a estabilidade (obrigatória):



# Conceitos Fundamentais

Condições desejáveis (nem todas atendidas):

- Manter as características da resposta ao impulso;
- Manter as características da resposta ao degrau (controle);

Alguns complicadores:

- Estabilidade:
  - Polos estáveis em tempo contínuo (assumindo causalidade)  $\rightarrow$  polos no SPE;
  - Polos estáveis em tempo discreto (assumindo causalidade)  $\rightarrow$  polos dentro da circunferência de raio unitário;

*A transformação deve mapear todos os polos no SPE para dentro da circunferência de raio unitário (mesmo aqueles polos localizados em  $s = -\infty$ )*

# Conceitos Fundamentais

Alguns complicadores:

- Manter as características da resposta em frequência:
  - Eixo  $s = j\Omega \rightarrow$  Comprimento infinito;
  - Circunferência de raio unitário  $\rightarrow$  Comprimento finito;

*A transformação deve mapear um eixo de comprimento infinito em uma circunferência de comprimento finito.*

- Nem todas as características podem ser preservadas (resposta ao impulso x resposta ao degrau);



# Conceitos Fundamentais

- Métodos para o mapeamento tempo contínuo  $\rightarrow$  tempo discreto:
  - Aproximações numéricas:
    - Aproximação de derivadas;
      - *Backward*;
      - *Forward*;
    - Aproximação de integrais;
      - Transformação bilinear (Tustin).
  - Invariância:
    - Invariância ao impulso;
    - Invariância ao degrau (ZOH – *Zero order retentor*);
  - Mapeamento polo-zero;

# Método *Forward*

- Aproximar a derivada da equação diferencial por uma diferença finita progressiva (Método de Euler).

Caso de um sistema de primeira ordem:  $\frac{dy_a(t)}{dt} + ay_a(t) = x_a(t)$

Função de Transferência:  $sY_a(s) + aY_a(s) = X_a(s) \longrightarrow \frac{Y_a(s)}{X_a(s)} = H_a(s) = \frac{1}{s + a}$

Amostragem da equação de diferenças:  $t = nT \rightarrow \frac{dy_a(nT)}{dt} + ay_a(nT) = x_a(nT)$

$$\frac{dy_a(nT)}{dt} + ay[n] = x[n]$$

Aproximação da derivada (*Forward*):  $\frac{dy_a(nT)}{dt} \approx \frac{y_a((n+1)T) - y_a(nT)}{T} \approx \frac{y[n+1] - y[n]}{T}$

# Método *Forward*

Substituindo a aproximação da derivada:

$$\frac{y[n+1] - y[n]}{T} + ay[n] = x[n]$$

$$\frac{1}{T}y[n+1] + \left(a - \frac{1}{T}\right)y[n] = x[n]$$

$$\frac{1}{T}zY(z) + \left(a - \frac{1}{T}\right)Y(z) = X(z)$$

$$\left(\frac{z-1}{T} + a\right)Y(z) = X(z)$$

$$H(z) = \frac{Y(z)}{X(z)} = \frac{1}{\left(\frac{z-1}{T}\right) + a}$$

# Método *Forward*

Por comparação com a função de transferência de tempo contínuo:

$$\left. \begin{aligned} H_a(s) &= \frac{1}{s+a} \\ H(z) &= \frac{1}{\left(\frac{z-1}{T}\right)+a} \end{aligned} \right\} H(z) = H_a(s) \Big|_{s=\frac{z-1}{T}}$$

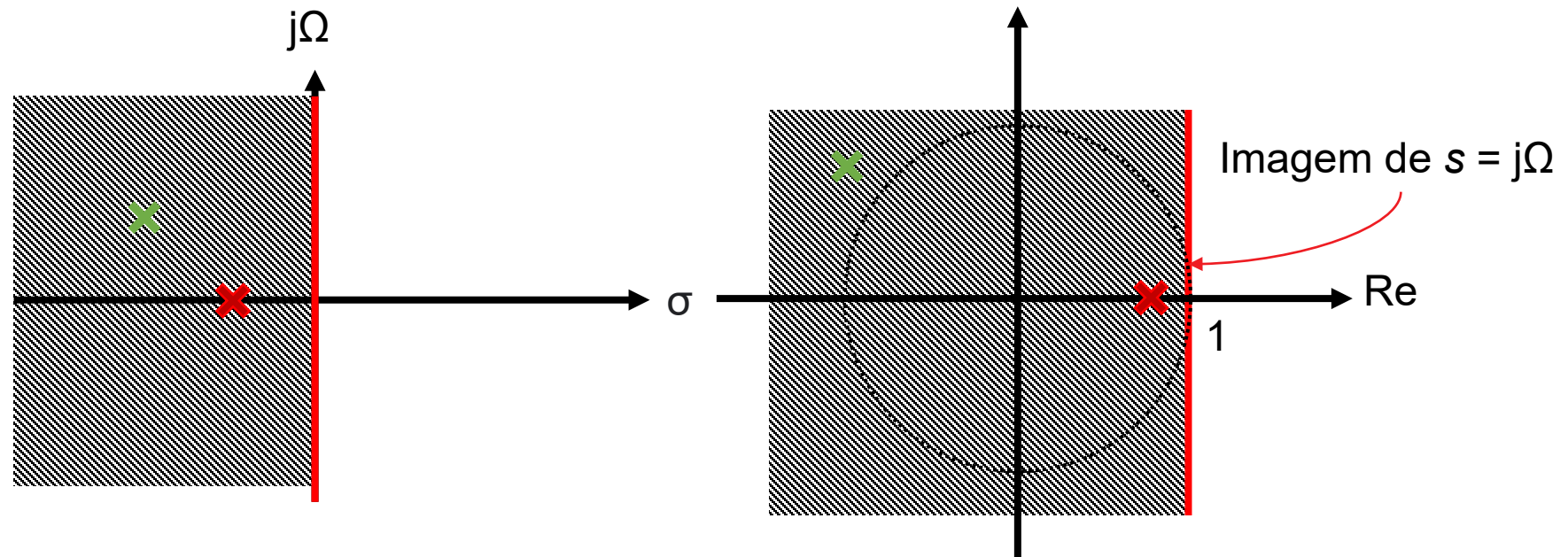
Relação entre o plano-s e o plano-z:  $s = \frac{z-1}{T} \rightarrow z = sT + 1$

Comportamento do eixo  $s = j\Omega$ :  $z = j\Omega T + 1$

# Método *Forward*

Relação entre o plano  $s$  e o plano  $z$ :  $z = sT + 1$

Eixo  $s = j\Omega$ :  $z = j\Omega T + 1$



- Um polo estável em  $s$  pode levar a um polo instável em  $z$ ;
- Não mapeia perfeitamente o eixo de frequências.

# Método *Backward*

- Aproximar a derivada da equação diferencial por uma diferença finita regressiva (Método de Euler).

Caso de um sistema de primeira ordem:  $\frac{dy_a(t)}{dt} + ay_a(t) = x_a(t)$

Função de Transferência:  $sY_a(s) + aY_a(s) = X_a(s) \longrightarrow \frac{Y_a(s)}{X_a(s)} = H_a(s) = \frac{1}{s + a}$

Amostragem da equação de diferenças:  $t = nT \rightarrow \frac{dy_a(nT)}{dt} + ay_a(nT) = x_a(nT)$

$$\frac{dy_a(nT)}{dt} + ay[n] = x[n]$$

Aproximação da derivada (*Forward*):  $\frac{dy_a(nT)}{dt} \approx \frac{y_a(nT) - y_a((n-1)T)}{T} \approx \frac{y[n] - y[n-1]}{T}$

# Método *Backward*

Substituindo a aproximação da derivada:

$$\frac{y[n] - y[n-1]}{T} + ay[n] = x[n]$$

$$\left(\frac{1}{T} + a\right)y[n] - \frac{1}{T}y[n-1] = x[n]$$

$$\left(\frac{1}{T} + a\right)Y(z) - \frac{1}{T}z^{-1}Y(z) = X(z)$$

$$\left(\frac{1 - z^{-1}}{T} + a\right)Y(z) = X(z)$$

$$H(z) = \frac{Y(z)}{X(z)} = \frac{1}{\left(\frac{1 - z^{-1}}{T}\right) + a}$$

# Método *Backward*

Por comparação com a função de transferência de tempo contínuo:

$$\left. \begin{aligned} H_a(s) &= \frac{1}{s+a} \\ H(z) &= \frac{1}{\left(\frac{1-z^{-1}}{T}\right) + a} \end{aligned} \right\} H(z) = H_a(s) \Big|_{s=\frac{1-z^{-1}}{T}}$$

Relação entre o plano-s e o plano-z:  $s = \frac{1-z^{-1}}{T} \rightarrow z = \frac{1}{1-sT}$

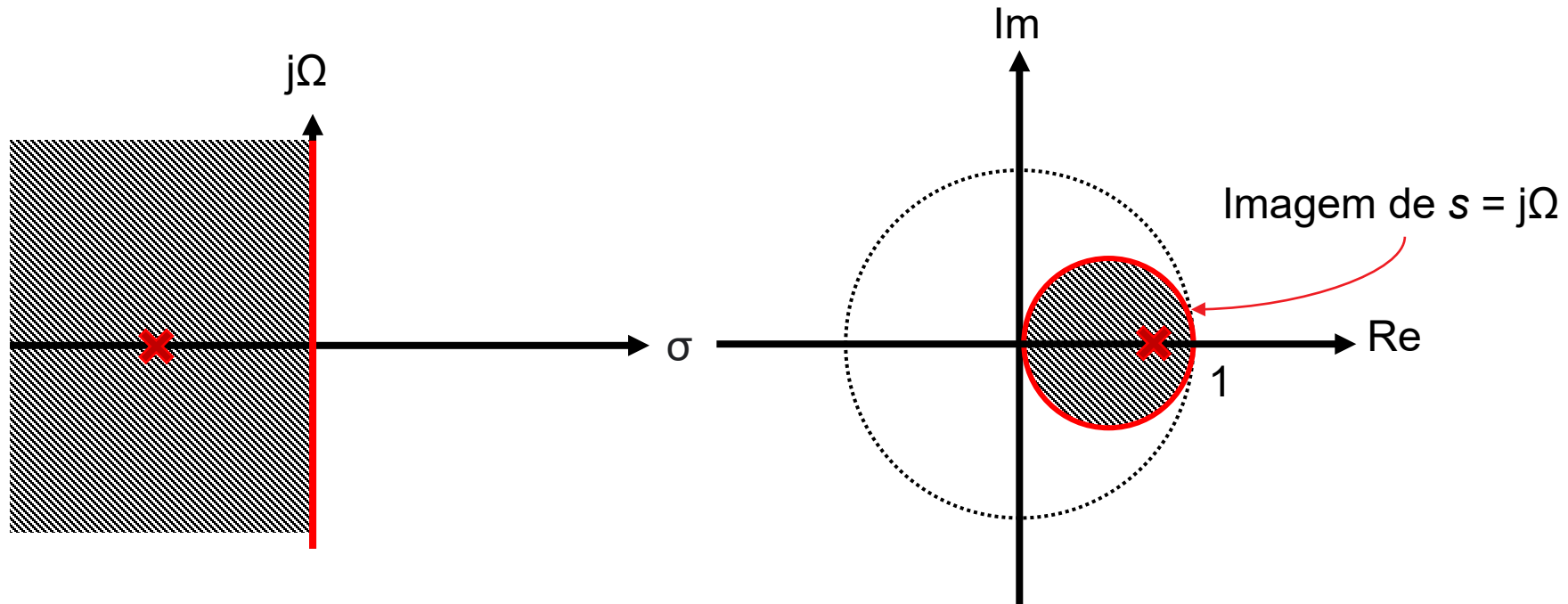
$$\begin{aligned} \text{Comportamento do eixo } s = j\Omega: \quad z &= \frac{1}{1-j\Omega T} = \frac{1}{2} \left[ 1 + \frac{1+j\Omega T}{1-j\Omega T} \right] \\ &= \frac{1}{2} \left[ 1 + \frac{\sqrt{1+\Omega^2 T^2} e^{j \tan^{-1}(\Omega T)}}{\sqrt{1+\Omega^2 T^2} e^{-j \tan^{-1}(\Omega T)}} \right] = \frac{1}{2} \left[ 1 + e^{j 2 \tan^{-1}(\Omega T)} \right] \end{aligned}$$



# Método *Backward*

Relação entre o plano  $s$  e o plano  $z$ :  $z = \frac{1}{1 - j\Omega T}$

Eixo  $s = j\Omega$ :  $z = \frac{1}{2} \left[ 1 + e^{j2 \tan^{-1}(\Omega T)} \right]$



# Método *Backward*

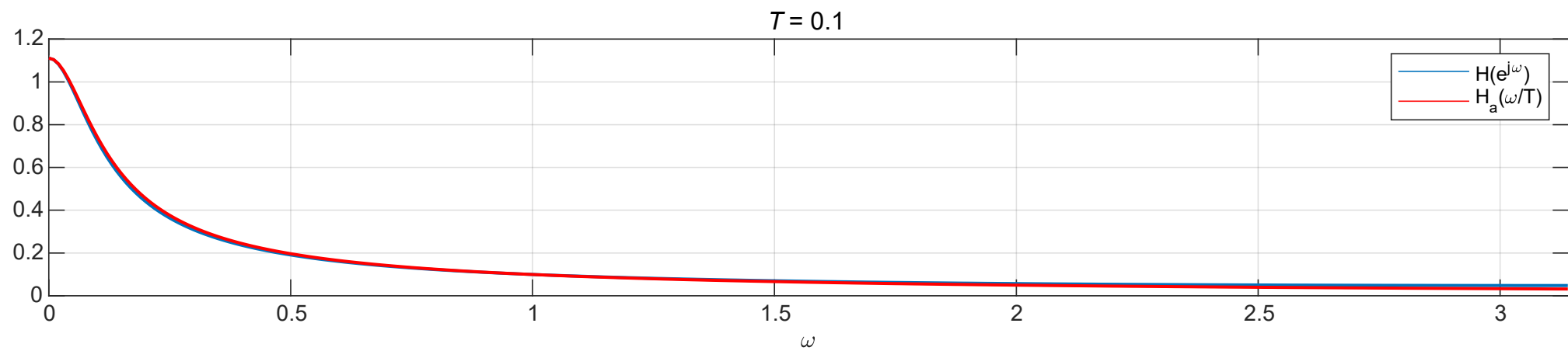
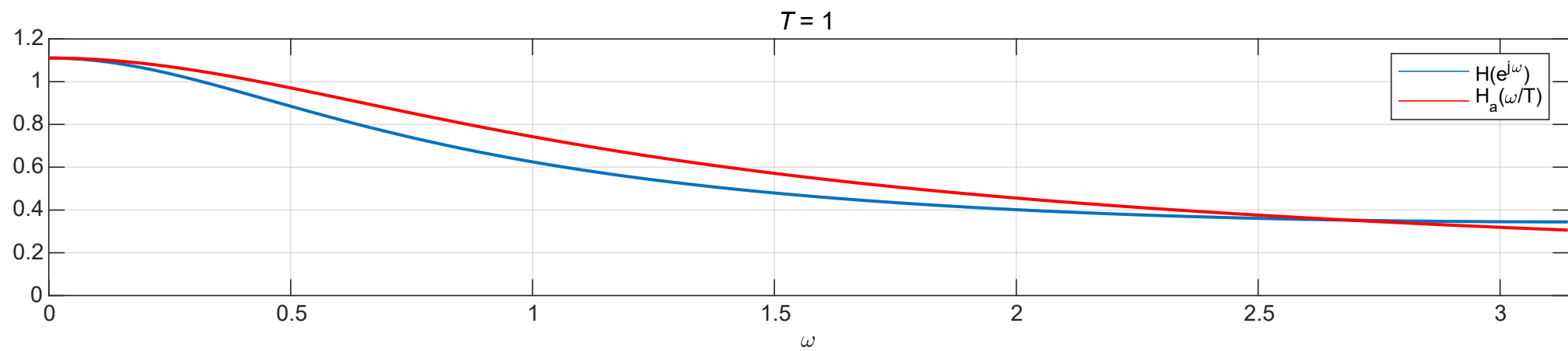
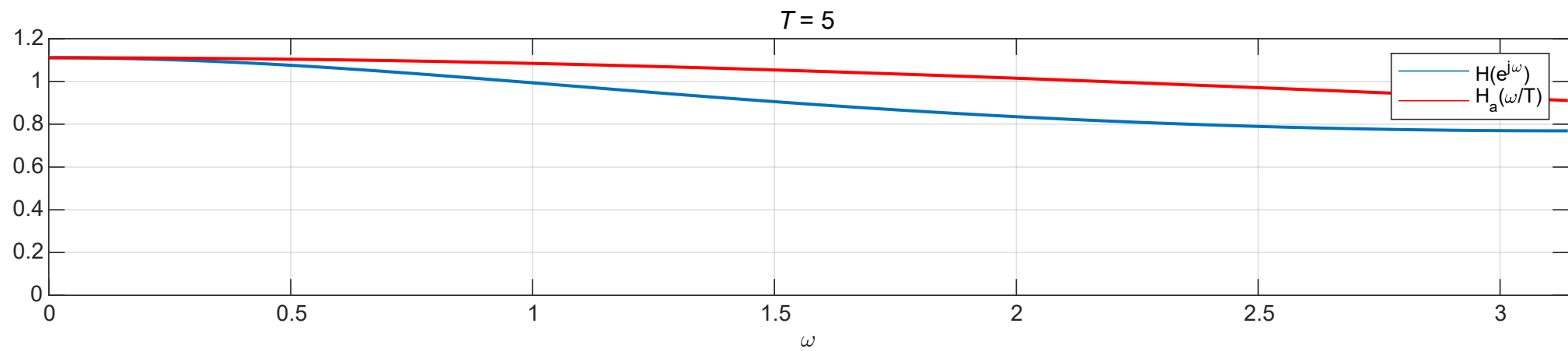
- Polo estável em  $s \rightarrow$  Polo estável em  $z$ ;
- Problemas:
  - Não mapeia perfeitamente o eixo de frequências  $\rightarrow$  Não preserva as características da resposta em frequência do filtro de tempo contínuo;
  - Os polos em  $z$  sempre vão estar em regiões de baixa frequência  $\rightarrow$  Limitado à filtros passa-baixas.
  - Diminuição de  $T \rightarrow$  Espectro de  $H_a(s)$  comprimido em torno de  $z = 1$ ;

$$z = \frac{1}{1 - sT} \quad \rightarrow \quad \text{Diminuição de } T \rightarrow z \text{ fica mais próximo de } 1.$$

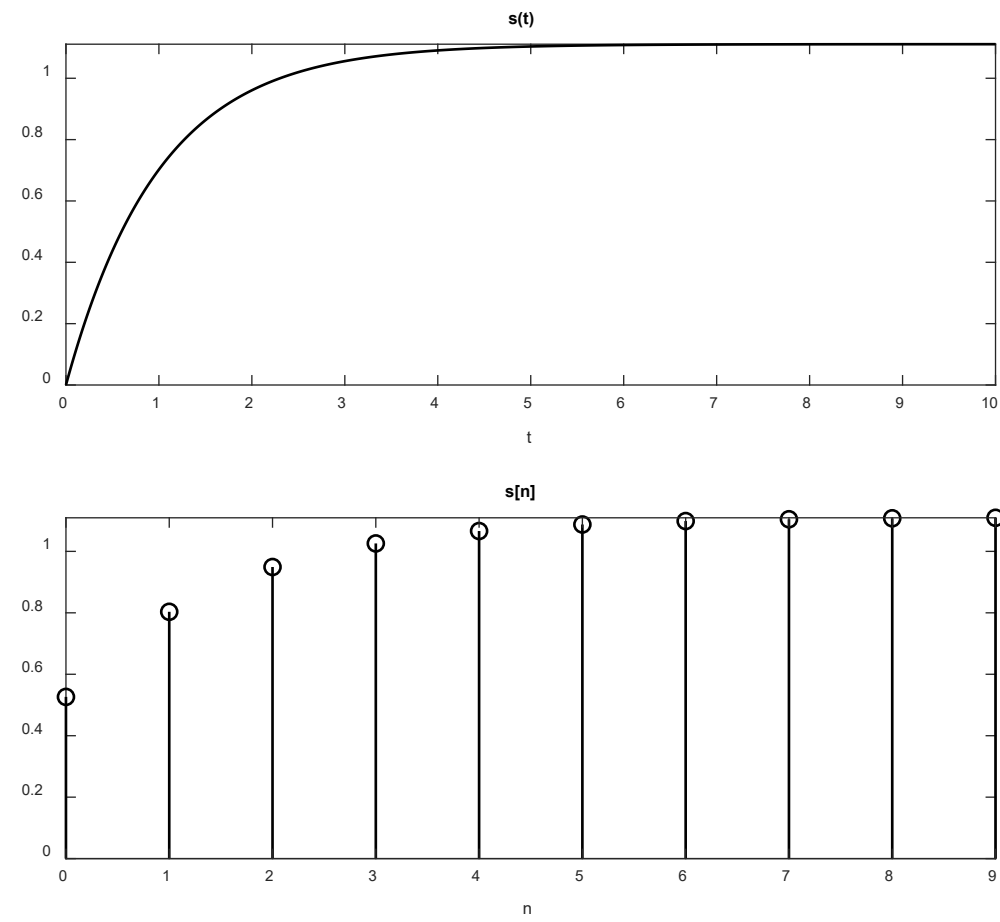
# Método *Backward*

Exemplo 1: Obtenha a discretização do seguinte sistema de tempo contínuo através do método *Backward*:

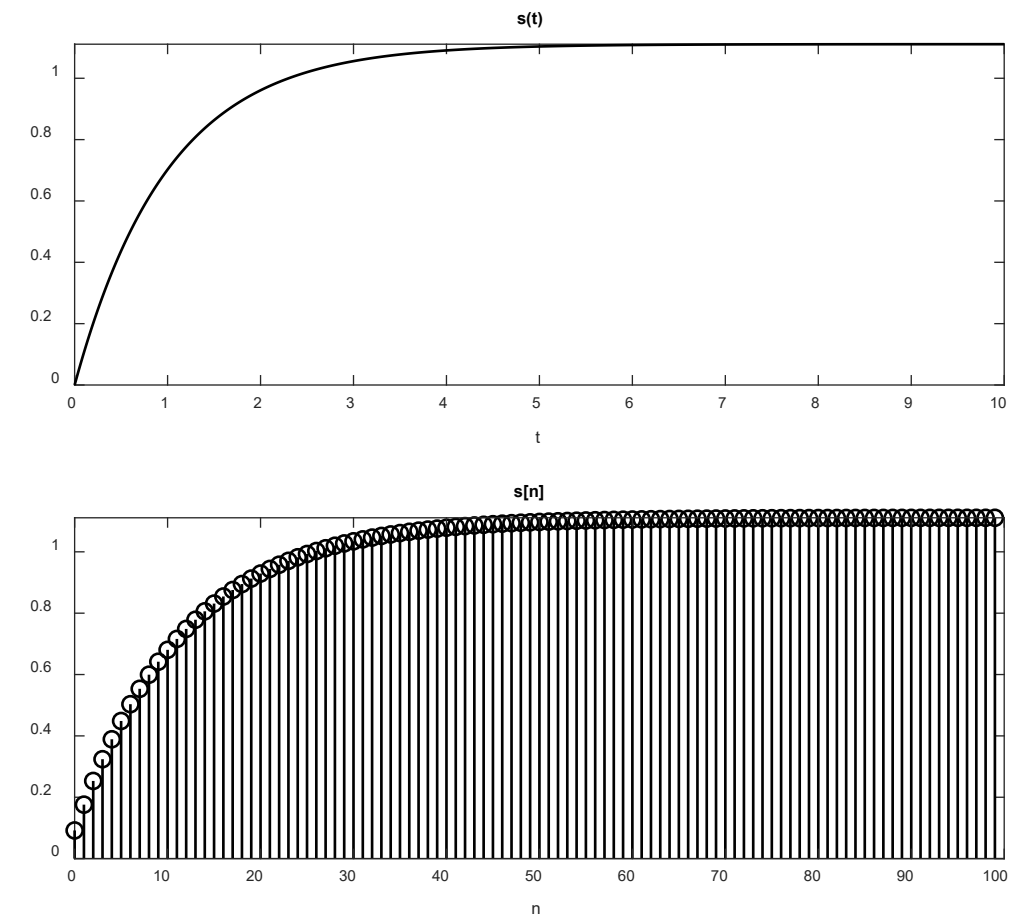
$$\frac{dy_a(t)}{dt} + 0,9y_a(t) = x_a(t)$$



Discretização com  $T = 1$ :



Discretização com  $T = 0,1$ :



# Transformação Bilinear (Método de Tustin)

- Baseia-se na integração da equação diferencial e utilizar uma aproximação numérica para integral  $\rightarrow$  regra do trapézio;

$$\frac{dy_a(t)}{dt} + ay_a(t) = x_a(t)$$

Integrando em dois instantes sucessivos de amostragem:

$$\int_{(n-1)T}^{nT} \left\{ \frac{dy_a(t)}{dt} + ay_a(t) \right\} dt = \int_{(n-1)T}^{nT} x_a(t) dt$$

$$\int_{(n-1)T}^{nT} \frac{dy_a(t)}{dt} dt + a \int_{(n-1)T}^{nT} y_a(t) dt = \int_{(n-1)T}^{nT} x_a(t) dt$$

$$y_a(nT) - y_a((n-1)T) + a \int_{(n-1)T}^{nT} y_a(t) dt = \int_{(n-1)T}^{nT} x_a(t) dt$$

# Transformação Bilinear (Método de Tustin)

Integral  $\rightarrow$  aproximada pela regra do trapézio:

$$\int_{(n-1)T}^{nT} y_a(t) dt = \frac{y_a(nT) + y_a((n-1)T)}{2} T$$

$$\int_{(n-1)T}^{nT} x_a(t) dt = \frac{x_a(nT) + x_a((n-1)T)}{2} T$$

Desta maneira:

$$y_a(nT) - y_a((n-1)T) + a \left[ \frac{y_a(nT) + y_a((n-1)T)}{2} T \right] = \frac{x_a(nT) + x_a((n-1)T)}{2} T$$

$$y[n] - y[n-1] + a \left( \frac{y[n] + y[n-1]}{2} T \right) = \frac{x[n] + x[n-1]}{2} T$$

# Transformação Bilinear (Método de Tustin)

Reorganizando:

$$\left(1 + \frac{aT}{2}\right)y[n] - \left(1 - \frac{aT}{2}\right)y[n-1] = \frac{T}{2}(x[n] + x[n-1])$$

Aplicando a Transformada Z:

$$\left(1 + \frac{aT}{2}\right)Y(z) - \left(1 - \frac{aT}{2}\right)z^{-1}Y(z) = \frac{T}{2}X(z)(1 + z^{-1})$$

$$H(z) = \frac{Y(z)}{X(z)} = \frac{1}{\frac{2}{T}\left(\frac{1 - z^{-1}}{1 + z^{-1}}\right) + a}$$



# Transformação Bilinear (Método de Tustin)

Por comparação com a função de transferência de tempo contínuo:

$$\left. \begin{aligned} H_a(s) &= \frac{1}{s + a} \\ H(z) &= \frac{1}{\frac{2}{T} \left( \frac{1 - z^{-1}}{1 + z^{-1}} \right) + a} \end{aligned} \right\} H(z) = H_a(s) \Big|_{s = \frac{2}{T} \left( \frac{1 - z^{-1}}{1 + z^{-1}} \right)}$$

Relação entre o plano-s e o plano-z:  $z = \frac{1 + sT/2}{1 - sT/2}$

# Transformação Bilinear (Método de Tustin)

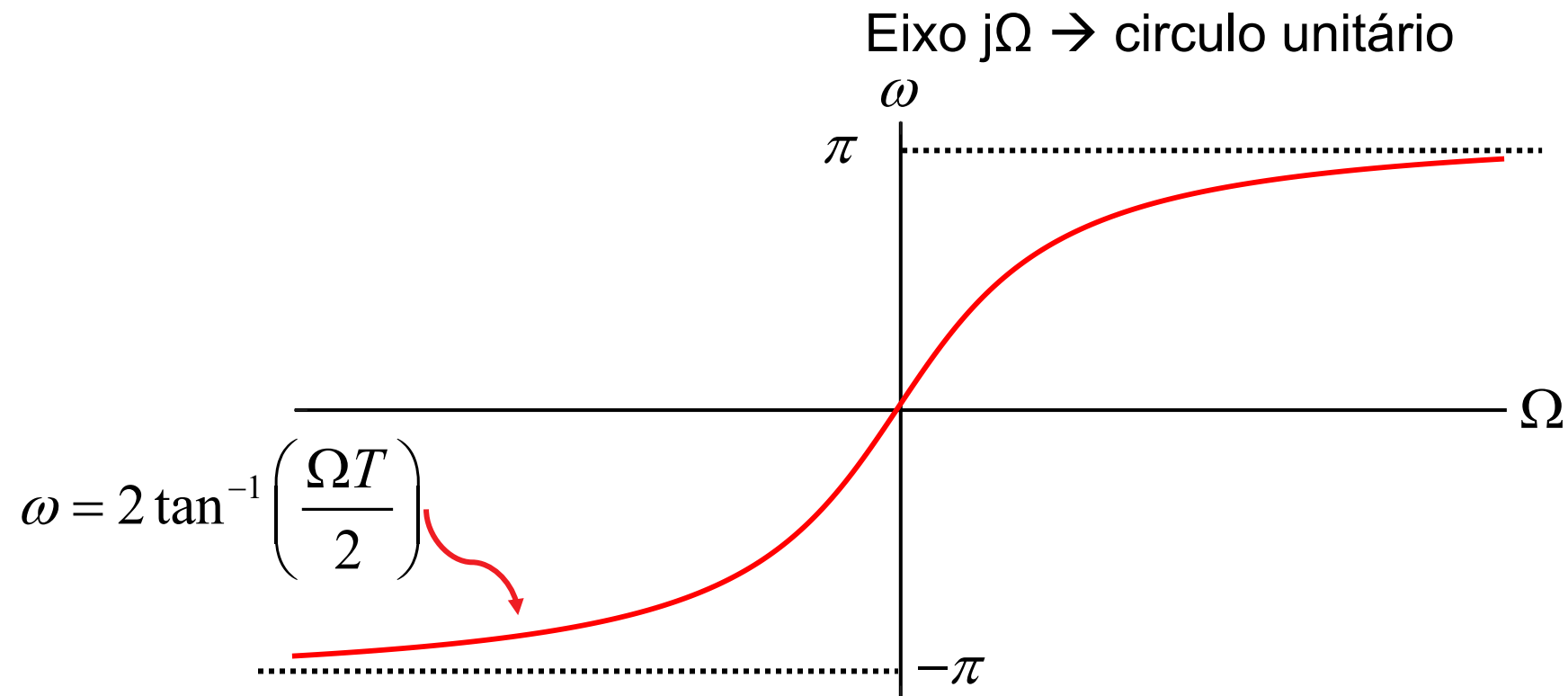
- Análise da transformação bilinear:
  - Eixo  $j\Omega \rightarrow$  círculo unitário?

$$\text{para } z = e^{j\omega} \rightarrow s = \frac{2}{T} \left( \frac{1 - e^{-j\omega}}{1 + e^{-j\omega}} \right) \quad \left\{ \begin{array}{l} 1 - e^{-j\omega} = e^{-j\omega/2} (e^{j\omega/2} - e^{-j\omega/2}) \\ \quad \quad \quad = e^{-j\omega/2} 2j \sin(\omega/2) \\ 1 + e^{-j\omega} = e^{-j\omega/2} (e^{j\omega/2} + e^{-j\omega/2}) \\ \quad \quad \quad = e^{-j\omega/2} 2 \cos(\omega/2) \end{array} \right.$$

$$s = \frac{2}{T} \left( \frac{e^{-j\omega/2} 2j \sin(\omega/2)}{e^{-j\omega/2} 2 \cos(\omega/2)} \right) = \frac{2}{T} j \tan\left(\frac{\omega}{2}\right) = j\Omega$$

$$\Omega = \frac{2}{T} \tan\left(\frac{\omega}{2}\right) \quad (\text{Frequency Warping})$$

$$\omega = 2 \tan^{-1}\left(\frac{\Omega T}{2}\right)$$



Mapeamento não-linear (compressão do eixo de frequência)

# Transformação Bilinear (Método de Tustin)

- Análise da transformação bilinear:
  - Polo em  $s$  estável  $\rightarrow$  polo  $z$  estável?

$$z = \frac{1 + sT/2}{1 - sT/2} = \frac{2 + sT}{2 - sT} \quad \left. \begin{array}{l} s = \sigma + j\Omega \\ T = 1 \end{array} \right\} \longrightarrow z = \frac{(2 + \sigma) + j\Omega}{(2 - \sigma) - j\Omega}$$

$$|z| = \frac{\sqrt{(2 + \sigma)^2 + \Omega^2}}{\sqrt{(2 - \sigma)^2 + \Omega^2}} = \frac{\sqrt{4 + \sigma^2 + \Omega^2 + 4\sigma}}{\sqrt{4 + \sigma^2 + \Omega^2 - 4\sigma}}$$

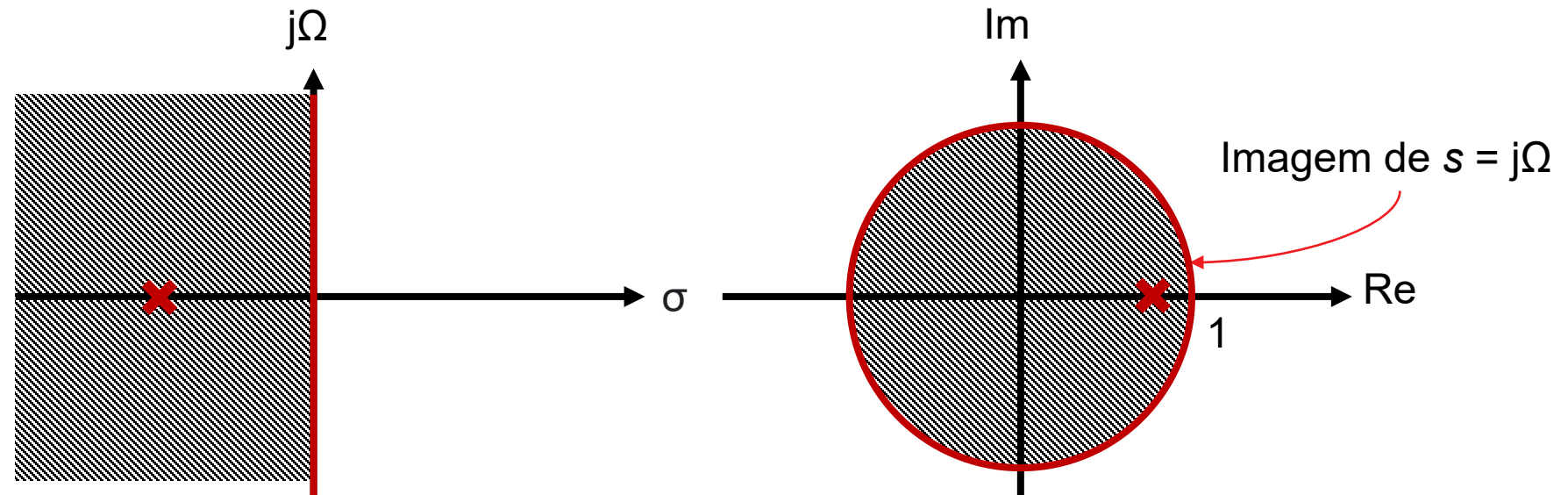
$$\text{Se: } \operatorname{Re}\{s\} = \sigma < 0 \longrightarrow |z| < 1$$

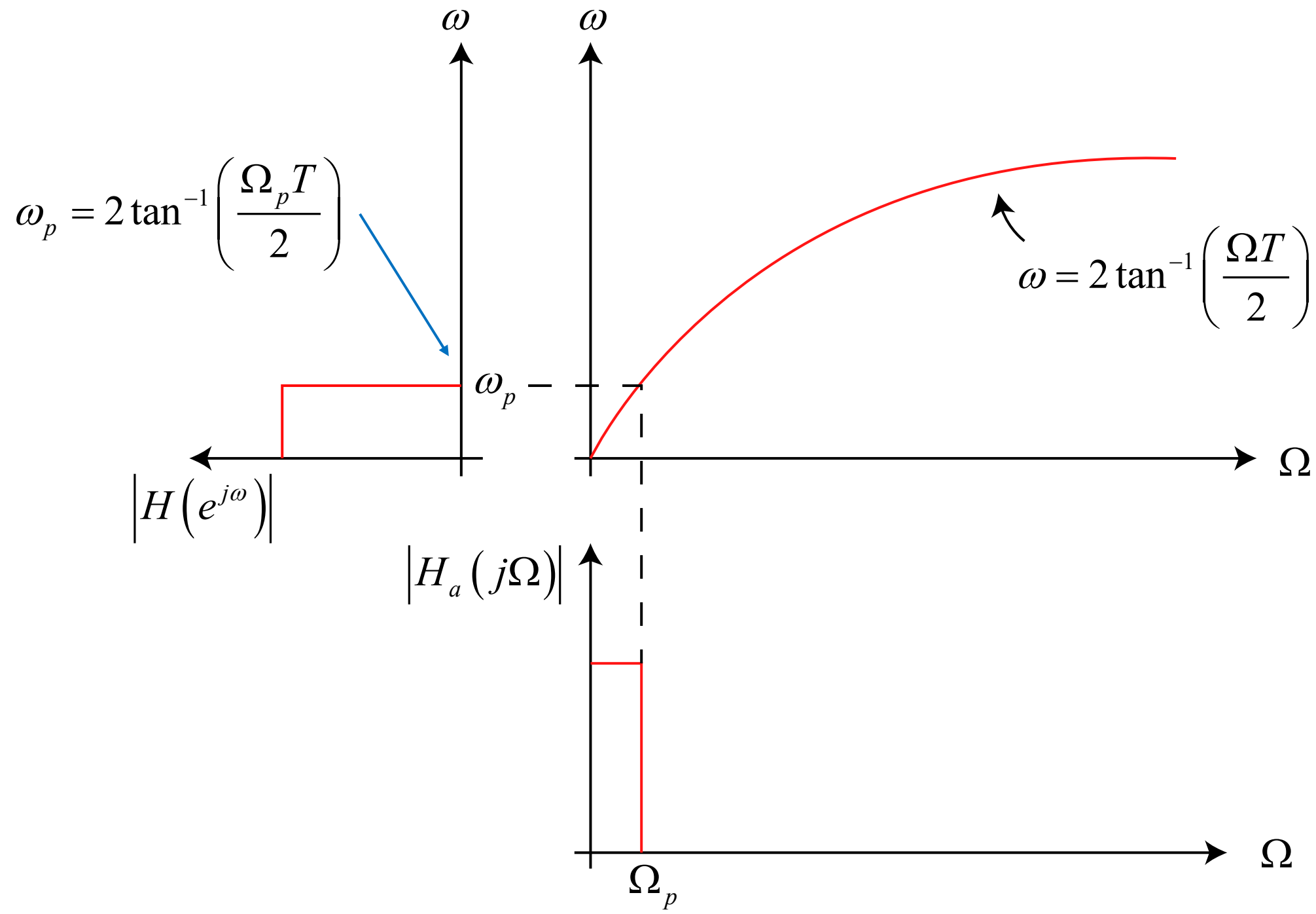
$$\operatorname{Re}\{s\} = \sigma > 0 \longrightarrow |z| > 1$$

Polo em  $s$  estável  $\rightarrow$  polo  $z$  estável

# Transformação Bilinear (Método de Tustin)

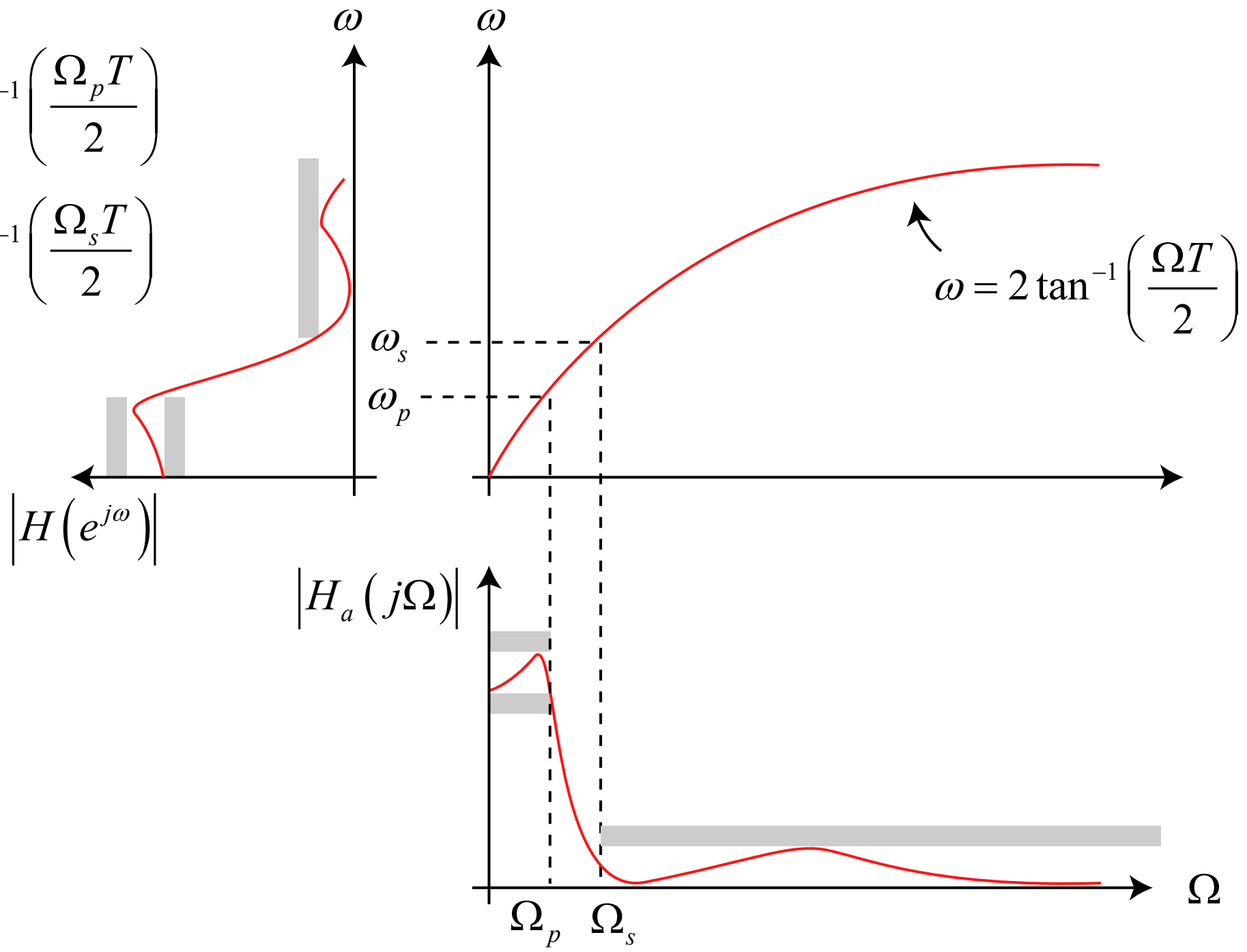
- Análise da transformação bilinear:





$$\omega_p = 2 \tan^{-1} \left( \frac{\Omega_p T}{2} \right)$$

$$\omega_s = 2 \tan^{-1} \left( \frac{\Omega_s T}{2} \right)$$



# Transformação Bilinear (Método de Tustin)

- Como corrigir o *Frequency Warping* → Modificar a resposta em frequência do sistema original de forma a compensar o *Frequency Warping*.

Sistema de primeira ordem passa-baixas com frequência de corte  $\Omega = a$ .

$$H(s) = \frac{a}{s + a} \quad \Omega_c = a$$

Amostragem (ideal):  $\omega_c = \Omega_c T = aT$

Aplicando a transformação bilinear, a frequência de corte não será  $\omega_c = aT$  (*Warping*)

$$\omega_c = 2 \tan^{-1} \left( \frac{\Omega_c T}{2} \right) = 2 \tan^{-1} \left( \frac{aT}{2} \right)$$

Compensação (*Pre-warping*):  $H_w(s) = \frac{\frac{2}{T} \tan \left( \frac{aT}{2} \right)}{s + \frac{2}{T} \tan \left( \frac{aT}{2} \right)} = \frac{a_w}{s + a_w}$

$$\Omega_{w,c} = a_w = \frac{2}{T} \tan \left( \frac{aT}{2} \right)$$



# Transformação Bilinear (Método de Tustin)

Sistema de primeira ordem passa-baixas com frequência de corte  $\Omega = a$ .

$$H_w(s) = \frac{\frac{2}{T} \tan\left(\frac{aT}{2}\right)}{s + \frac{2}{T} \tan\left(\frac{aT}{2}\right)} = \frac{a_w}{s + a_w} \quad \Omega_{w,c} = a_w = \frac{2}{T} \tan\left(\frac{aT}{2}\right)$$

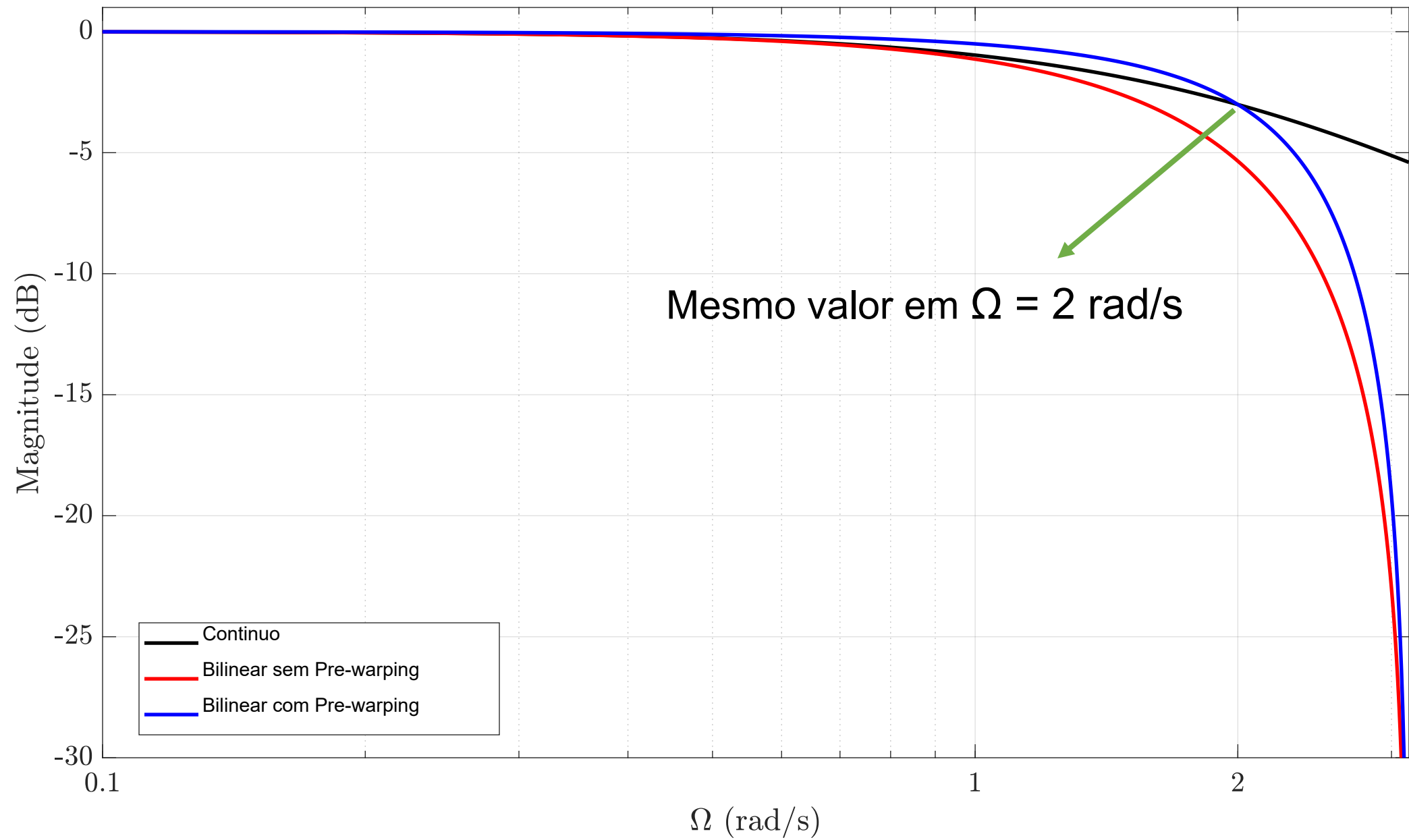
Aplicando a transformação bilinear, a frequência de corte será:

$$\begin{aligned} \omega_{w,c} &= 2 \tan^{-1}\left(\frac{\Omega_{w,c} T}{2}\right) = 2 \tan^{-1}\left(\frac{2}{T} \tan\left(\frac{aT}{2}\right) \frac{T}{2}\right) \\ &= 2 \tan^{-1}\left(\tan\left(\frac{aT}{2}\right)\right) = 2 \frac{aT}{2} \\ &= aT \quad (\text{Esperado pela amostragem ideal}) \end{aligned}$$

# Transformação Bilinear (Método de Tustin)

Exemplo 2: Obtenha a discretização do seguinte sistema de tempo contínuo utilizando a transformação bilinear com compensação de frequência crítica de  $\Omega_c = 2$  rad/s.

$$H(s) = \frac{2}{s + 2}$$



# Invariância ao Impulso

Resposta ao impulso do filtro de tempo discreto = Amostragem da resposta ao impulso do filtro de tempo contínuo

$h[n] = h_a(nT)$    $h[n]$  vai ter as mesmas características de  $h_a(t)$

$$h_a(t) = \mathcal{L}^{-1}\{H_a(s)\}$$

$$h[n] = h_a(nT) = \mathcal{L}^{-1}\{H_a(s)\}\Big|_{t=nT}$$

$$H(z) = \mathcal{Z}\{h[n]\} = \mathcal{Z}\left\{\mathcal{L}^{-1}\{H_a(s)\}\Big|_{t=nT}\right\}$$

$$H_a(s) = \sum_{k=1}^N \frac{A_k}{s - s_k} \quad (\text{polos simples em } s = \{s_k\})$$


$$\mathcal{L}^{-1}\{H_a(s)\} = h_a(t) = \mathcal{L}^{-1}\left\{\sum_{k=1}^N \frac{A_k}{s - s_k}\right\}$$

$$= \sum_{k=1}^N A_k \mathcal{L}^{-1}\left\{\frac{1}{s - s_k}\right\} = \sum_{k=1}^N A_k e^{s_k t} u(t) = h_a(t)$$

# Invariância ao Impulso

$$\begin{aligned}h[n] = h_a(nT) &= \sum_{k=1}^N A_k e^{s_k nT} u(nT) \\ &= \sum_{k=1}^N A_k \left(e^{s_k T}\right)^n u[n]\end{aligned}$$

$$\begin{aligned}H(z) = \mathcal{Z}\left\{\sum_{k=1}^N A_k \left(e^{s_k T}\right)^n u[n]\right\} &= \sum_{k=1}^N A_k \mathcal{Z}\left\{\left(e^{s_k T}\right)^n u[n]\right\} \\ &= \sum_{k=1}^N \frac{A_k}{1 - e^{s_k T} z^{-1}} \quad \text{Polos: } z_k = \left\{e^{s_k T}\right\}\end{aligned}$$

Polo em  $s = s_k$   Polo em  $z = e^{s_k T}$

- O mapeamento é dos polos, e não do plano  $s$  para o plano  $z$ ;
- Os zeros geralmente são mapeados seguindo outra regra.

# Invariância ao Impulso

Do processo de amostragem:  $h[n] = h_a(nT)$

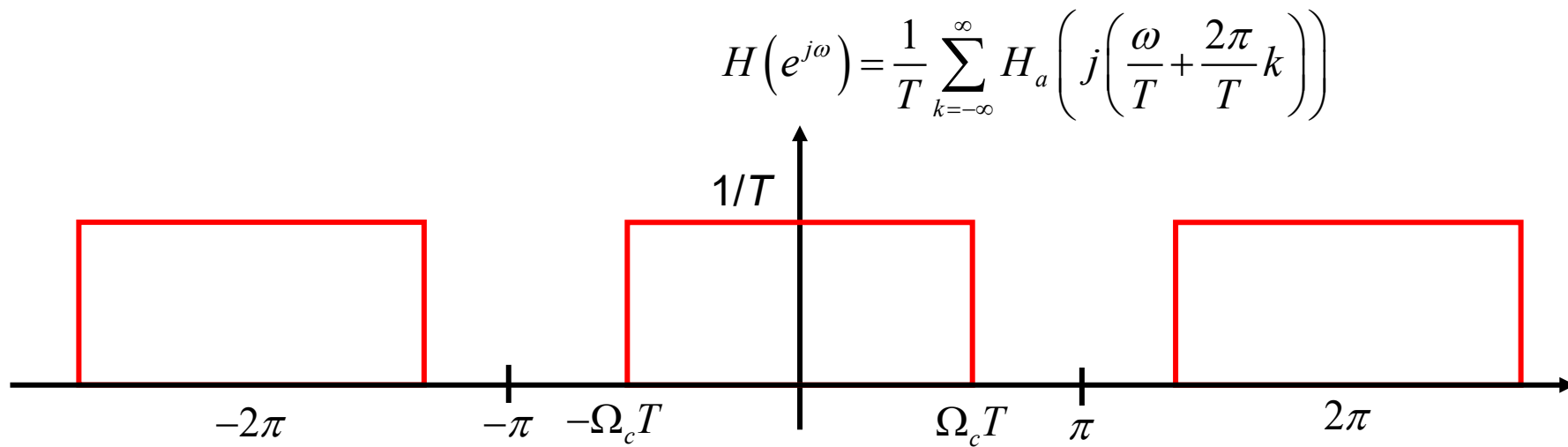
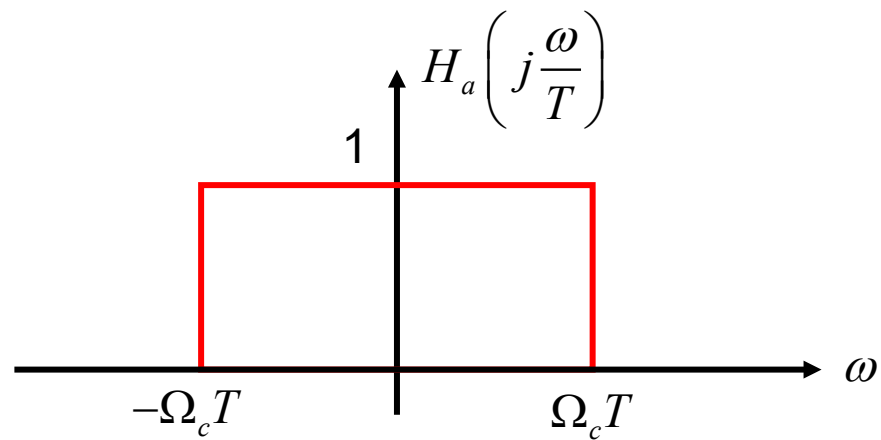
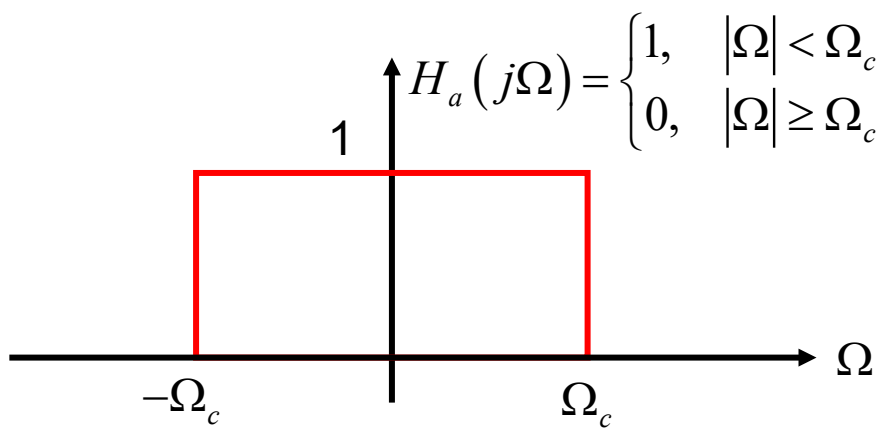
$$H(e^{j\omega}) = \frac{1}{T} \sum_{k=-\infty}^{\infty} H_a\left(j\left(\frac{\omega}{T} + \frac{2\pi}{T}k\right)\right)$$

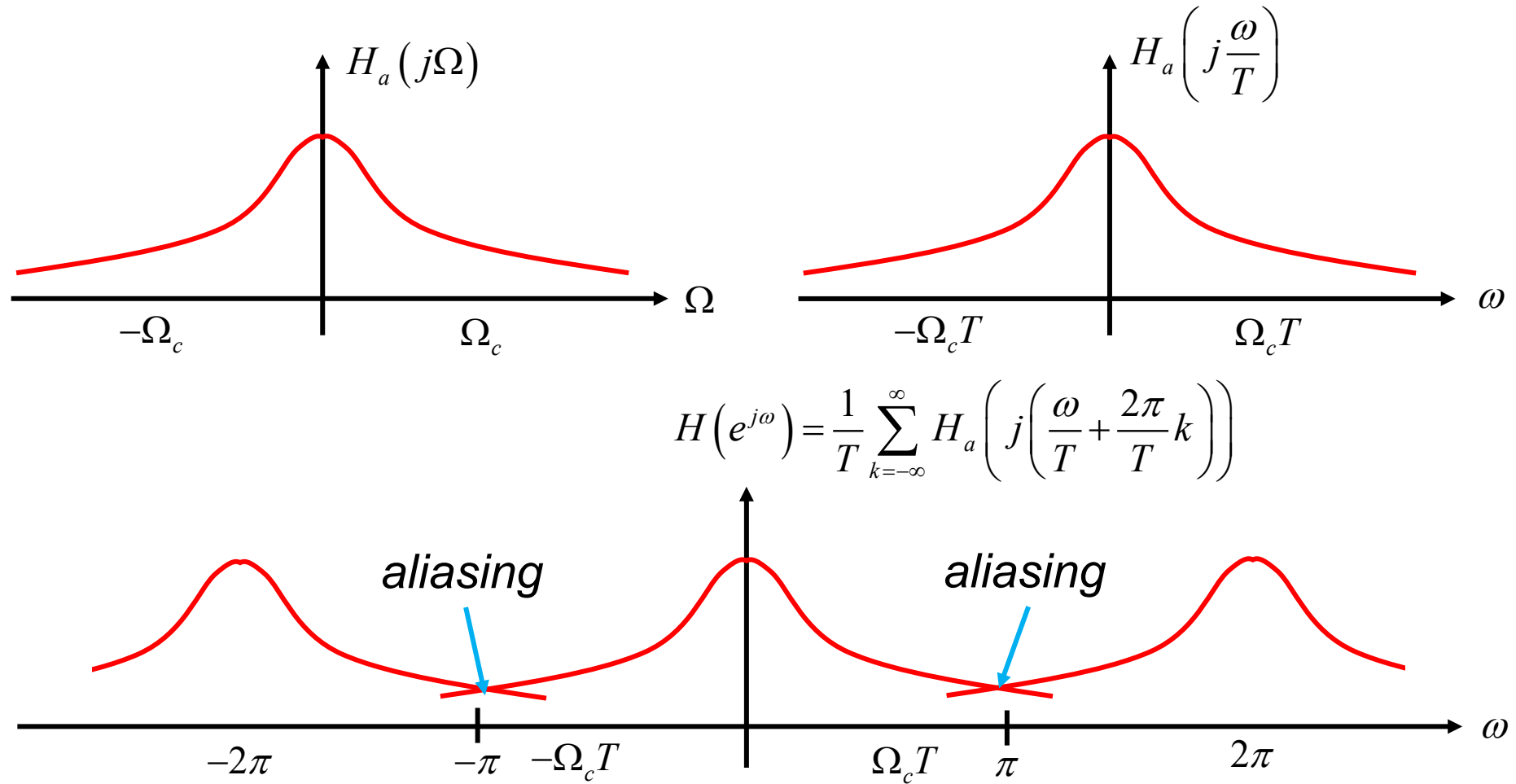
A invariância ao impulso garante que o formato da resposta em frequência permaneça a mesma, a não ser pelo fator de escala  $\Omega = \omega/T$  e ao *aliasing*;

A não ser pelo *aliasing*, o filtro de tempo discreto possui o mesmo formato do filtro de tempo contínuo:

$$H(e^{j\omega}) \approx \frac{1}{T} H_a\left(j\frac{\omega}{T}\right) \quad -\pi \leq \omega \leq \pi$$

Evitar o uso de filtros não-limitados em banda (passa-altas e rejeita-faixa);





Problema inerente: Haverá *aliasing*. Além disso, o parâmetro  $T$  não controla o *aliasing* neste caso.



# Invariância ao Impulso

Análise de estabilidade:

$$\begin{array}{ccc} \text{Polo em} & \longrightarrow & \text{Polo em} \\ s = s_k & & z = e^{s_k T} \end{array}$$

$$s_k = \sigma_k + j\Omega_k \longrightarrow z = e^{(\sigma_k + j\Omega_k)T} = e^{\sigma_k T} e^{j\Omega_k T}$$
$$|z| = e^{\sigma_k T}$$

$$\begin{array}{l} \text{Se: } \operatorname{Re}\{s_k\} = \sigma_k < 0 \longrightarrow |z| < 1 \\ \operatorname{Re}\{s_k\} = \sigma_k > 0 \longrightarrow |z| > 1 \end{array} \longrightarrow \text{Polo em } s \text{ estável} \rightarrow \text{polo } z \text{ estável}$$

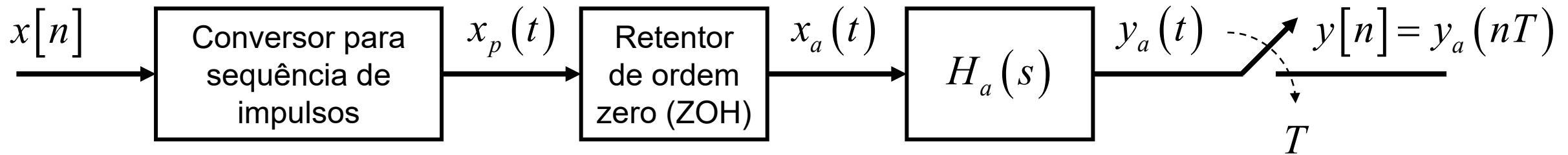
# Invariância ao Impulso

Exemplo 3: Determine a discretização pela invariância ao impulso da seguinte função transferência.

$$H_a(s) = \frac{2}{(s+1)(s+2)}$$

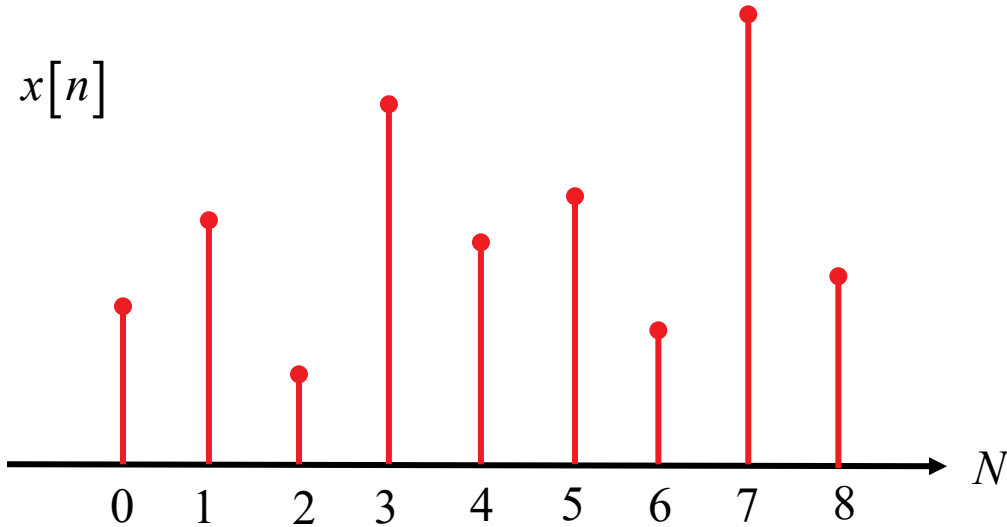
# Invariância ao Degrau (ZOH – *Zero Order Hold*)

- Consiste em:
  - Utilizar um retentor de ordem zero como conversor D/A de forma a converter um sinal de tempo discreto em tempo contínuo;
  - Aplicar o sinal de saída do D/A no sistema de tempo contínuo;
  - Amostrar a saída do sistema de tempo contínuo obtendo um sinal de tempo discreto.

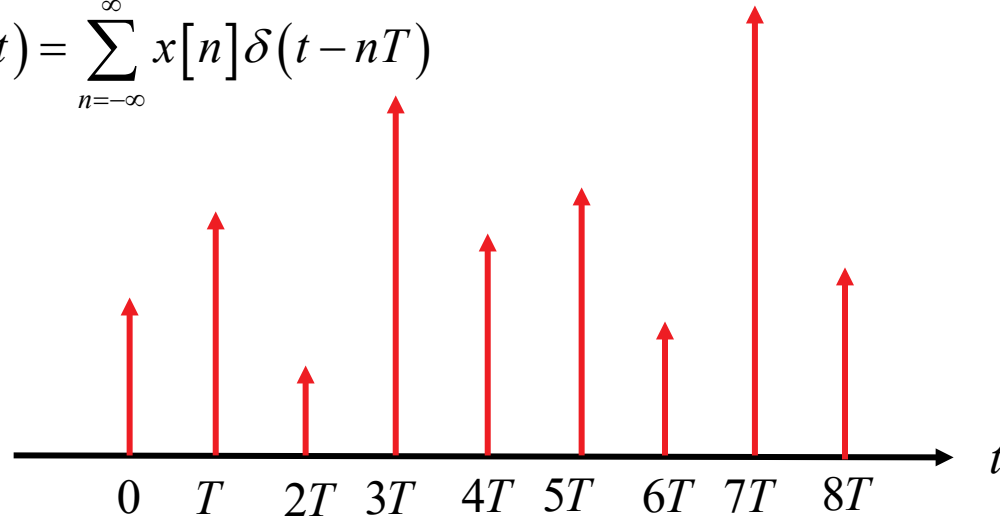


# Invariância ao Degrau (ZOH – *Zero Order Hold*)

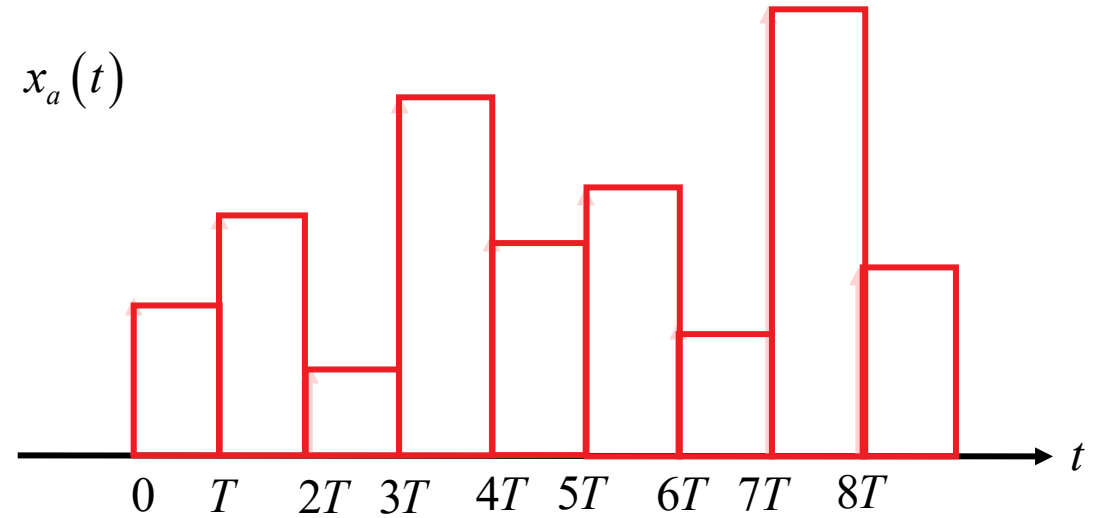
Retentor de ordem zero:



$$x_p(t) = \sum_{n=-\infty}^{\infty} x[n] \delta(t - nT)$$

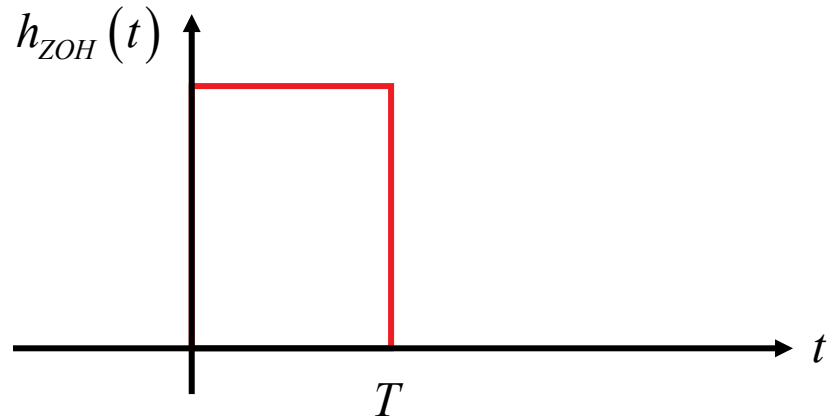


$x_a(t)$



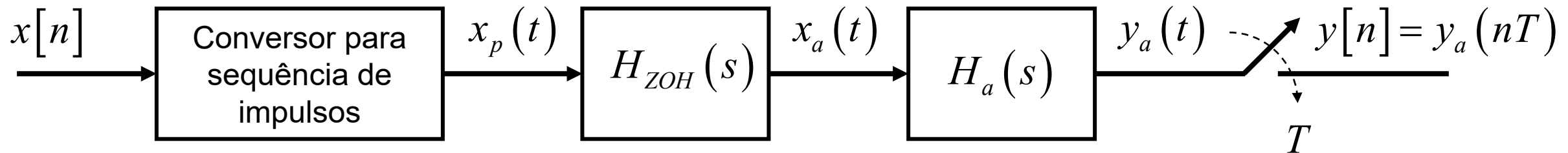
# Invariância ao Degrau (ZOH – *Zero Order Hold*)

Função transferência da retentor de ordem zero:



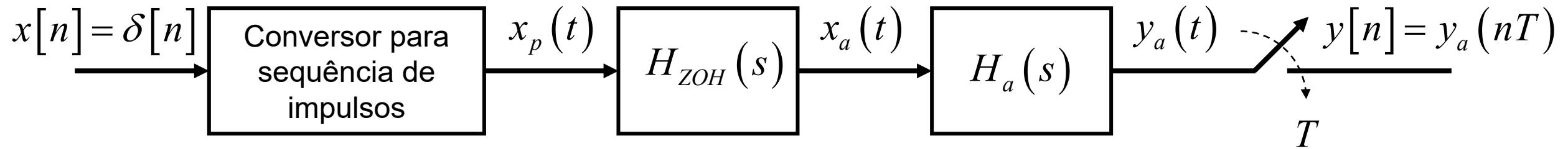
$$h_{ZOH}(t) = \begin{cases} 1 & 0 \leq t \leq T \\ 0 & \text{caso contrário} \end{cases}$$
$$= u(t) - u(t - T)$$

$$H_{ZOH}(s) = \mathcal{L}\{h_{ZOH}(t)\} = \mathcal{L}\{u(t) - u(t - T)\}$$
$$= \frac{1}{s} - \frac{1}{s}e^{-sT} = \frac{1 - e^{-sT}}{s}$$



# Invariância ao Degrau (ZOH – *Zero Order Hold*)

Função transferência do equivalente discreto:



$$x_p(t) = \sum_{n=-\infty}^{\infty} x[n] \delta(t - nT) = \sum_{n=-\infty}^{\infty} \delta[n] \delta(t - nT) = \delta(t)$$

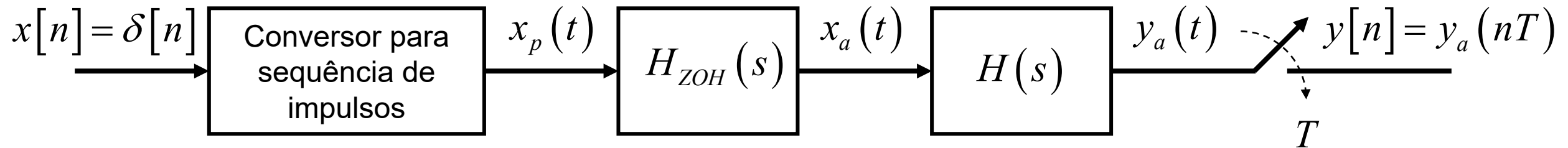
$$X_p(s) = \mathcal{L}\{x_p(t)\} = \mathcal{L}\{\delta(t)\} = 1$$

$$\begin{aligned} X_a(s) &= \mathcal{L}\{x_a(t)\} = X_p(s) H_{ZOH}(s) \\ &= H_{ZOH}(s) = \frac{1 - e^{-sT}}{s} \end{aligned}$$

$$Y_a(s) = \mathcal{L}\{y_a(t)\} = X_a(s) H_a(s) = \left( \frac{1 - e^{-sT}}{s} \right) H_a(s)$$

# Invariância ao Degrau (ZOH – Zero Order Hold)

Função transferência do equivalente discreto:



$$y_a(t) = \mathcal{L}^{-1}\{Y_a(s)\} = \mathcal{L}^{-1}\left\{\left(\frac{1-e^{-sT}}{s}\right)H_a(s)\right\}$$

$$y[n] = y_a(nT) = \mathcal{L}^{-1}\left\{\left(\frac{1-e^{-sT}}{s}\right)H_a(s)\right\}\bigg|_{t=nT}$$

$$\begin{aligned} Y(z) = \mathcal{Z}\{y[n]\} &= \mathcal{Z}\left\{\mathcal{L}^{-1}\left\{\left(\frac{1-e^{-sT}}{s}\right)H_a(s)\right\}\bigg|_{t=nT}\right\} \\ &= \mathcal{Z}\left\{\mathcal{L}^{-1}\left\{\frac{H_a(s)}{s}\right\}\bigg|_{t=nT} - \mathcal{L}^{-1}\left\{e^{-sT}\frac{H_a(s)}{s}\right\}\bigg|_{t=nT}\right\} \end{aligned}$$

# Invariância ao Degrau (ZOH – *Zero Order Hold*)

Chamando:  $\mathcal{L}^{-1} \left\{ \frac{H_a(s)}{s} \right\} = f(t)$  (Resposta ao degrau)

$$\mathcal{L}^{-1} \left\{ e^{-sT} \frac{H_a(s)}{s} \right\} = f(t - T)$$

$$\begin{aligned} Y(z) &= \mathcal{Z} \left\{ \mathcal{L}^{-1} \left\{ \frac{H_a(s)}{s} \right\} \Big|_{t=nT} - \mathcal{L}^{-1} \left\{ e^{-sT} \frac{H_a(s)}{s} \right\} \Big|_{t=nT} \right\} \\ &= \mathcal{Z} \left\{ f(t) \Big|_{t=nT} - f(t - T) \Big|_{t=nT} \right\} = \mathcal{Z} \left\{ f(nT) - f(nT - T) \right\} \\ &= \mathcal{Z} \left\{ f[n] - f[n - 1] \right\} \\ &= F(z) - z^{-1} F(z) = (1 - z^{-1}) F(z) \end{aligned}$$



# Invariância ao Degrau (ZOH – *Zero Order Hold*)

$$\text{Mas: } F(z) = \mathcal{Z}\{f[n]\} = \mathcal{Z}\{f(nT)\} \\ = \mathcal{Z}\left\{\mathcal{L}^{-1}\left\{\frac{H_a(s)}{s}\right\}\right\}_{t=nT}$$

$$\text{Portanto: } Y(z) = (1 - z^{-1})F(z) = (1 - z^{-1})\mathcal{Z}\left\{\mathcal{L}^{-1}\left\{\frac{H_a(s)}{s}\right\}\right\}_{t=nT}$$

$$\text{Por fim: } H(z) = \frac{Y(z)}{X(z)} = \frac{Y(z)}{1}$$

$$= (1 - z^{-1})\mathcal{Z}\left\{\mathcal{L}^{-1}\left\{\frac{H_a(s)}{s}\right\}\right\}_{t=nT}$$

Equivalente à amostrar a resposta  
ao degrau

$$h[n] = f[n] - f[n-1]$$

$$H(z) = (1 - z^{-1})F(z)$$

# Invariância ao Degrau (ZOH – *Zero Order Hold*)

Análise de estabilidade:

$$H_a(s) = \frac{Q(s)}{(s - p_1)(s - p_2) \cdots (s - p_N)}$$

$$\begin{aligned} \frac{H_a(s)}{s} &= \frac{Q(s)}{s(s - p_1)(s - p_2) \cdots (s - p_N)} \\ &= \frac{A_0}{s} + \frac{A_1}{s - p_1} + \frac{A_2}{s - p_1} + \cdots + \frac{A_N}{s - p_N} \end{aligned}$$

$$\begin{aligned} \mathcal{L}^{-1} \left\{ \frac{H_a(s)}{s} \right\} &= \mathcal{L}^{-1} \left\{ \frac{A_0}{s} + \frac{A_1}{s - p_1} + \frac{A_2}{s - p_1} + \cdots + \frac{A_N}{s - p_N} \right\} \\ &= \left( A_0 + A_1 e^{p_1 t} + A_2 e^{p_2 t} + \cdots + A_N e^{p_N t} \right) u(t) = f(t) \end{aligned}$$

# Invariância ao Degrau (ZOH – *Zero Order Hold*)

Análise de estabilidade:

$$\begin{aligned}\mathcal{L}^{-1}\left\{\frac{H_a(s)}{s}\right\}\bigg|_{t=nT} &= f(nT) = \left(A_0 + A_1 e^{p_1 T n} + A_2 e^{p_2 T n} + \dots + A_N e^{p_N T n}\right) u(nT) \\ &= \left(A_0 + A_1 \left(e^{p_1 T}\right)^n + A_2 \left(e^{p_2 T}\right)^n + \dots + A_N \left(e^{p_N T}\right)^n\right) u[n] \\ \mathcal{Z}\left\{\mathcal{L}^{-1}\left\{\frac{H_a(s)}{s}\right\}\bigg|_{t=nT}\right\} &= \mathcal{Z}\left\{\left(A_0 + A_1 \left(e^{p_1 T}\right)^n + A_2 \left(e^{p_2 T}\right)^n + \dots + A_N \left(e^{p_N T}\right)^n\right) u[n]\right\} \\ &= \frac{A_0}{1-z^{-1}} + \frac{A_1}{1-\left(e^{p_1 T}\right)z^{-1}} + \frac{A_2}{1-\left(e^{p_2 T}\right)z^{-1}} + \dots + \frac{A_N}{1-\left(e^{p_N T}\right)z^{-1}} \\ &= \frac{R(z)}{\left(1-z^{-1}\right)\left(1-\left(e^{p_1 T}\right)z^{-1}\right)\left(1-\left(e^{p_2 T}\right)z^{-1}\right)\dots\left(1-\left(e^{p_N T}\right)z^{-1}\right)}\end{aligned}$$

# Invariância ao Degrau (ZOH – *Zero Order Hold*)

Análise de estabilidade:

$$\begin{aligned} H(z) &= (1 - z^{-1}) \mathcal{Z} \left\{ \mathcal{L}^{-1} \left\{ \frac{H_a(s)}{s} \right\} \right\} \bigg|_{t=nT} \\ &= \frac{(1 - z^{-1}) R(z)}{(1 - z^{-1}) (1 - (e^{p_1 T}) z^{-1}) (1 - (e^{p_2 T}) z^{-1}) \cdots (1 - (e^{p_N T}) z^{-1})} \\ &= \frac{R(z)}{(1 - (e^{p_1 T}) z^{-1}) (1 - (e^{p_2 T}) z^{-1}) \cdots (1 - (e^{p_N T}) z^{-1})} \end{aligned} \quad \text{Polos: } z = \left\{ e^{p_k T} \right\} \bigg|_{k=1, \dots, N}$$

Se:  $\text{Re}\{p_k\} = \sigma_k < 0 \xrightarrow{\text{red}} |z| < 1$   
 $\text{Re}\{p_k\} = \sigma_k > 0 \xrightarrow{\text{red}} |z| > 1$   $\xrightarrow{\text{red}}$  Polo em  $s$  estável  $\rightarrow$  polo  $z$  estável

# Invariância ao Degrau (ZOH – *Zero Order Hold*)

Exemplo 4: Determine a discretização por ZOH da seguinte função transferência utilizando  $T = 0,1$  S.

$$H_a(s) = \frac{1}{s+1}$$

# Mapeamento Polo-Zero

Consiste em mapear os polos e zeros da função transferência através da relação  $z = e^{sT}$ .

$$H_a(s) = K \frac{(s - z_1)(s - z_2) \cdots (s - z_M)}{(s - p_1)(s - p_2) \cdots (s - p_N)} \quad \left\{ \begin{array}{l} M \rightarrow \text{quantidade de zeros} \\ N \rightarrow \text{quantidade de polos} \end{array} \right.$$

Polo em  $s = p_k \rightarrow z = e^{p_k T}$

Zero finito em  $s = z_k \rightarrow z = e^{z_k T}$

Se  $M < N$ , então há  $N - M - 1$  zeros em  $s = \infty$ , que devem ser mapeados em  $z = -1$ .

Deve-se ajustar o ganho de  $H(z)$  de tal que seja igual ao ganho de  $H(s)$  para uma frequência específica (geralmente  $s = 0$ ):

$$\left| H_a(s) \right|_{s=0} = \left| H(z) \right|_{z=0}$$

# Mapeamento Polo-Zero

Exemplo 5: Determine a discretização por mapeamento de polo-zero da seguinte função transferência utilizando  $T = 1$  s.

$$H_a(s) = \frac{2}{s + 2}$$

# Mapeamento Polo-Zero

Exemplo 6: Determine a discretização por mapeamento de polo-zero da seguinte função transferência utilizando  $T = 1$  s.

$$H_a(s) = \frac{2(s+1)}{(s+2)(s+3)(s+4)}$$



# Discretização no MATLAB

```
sysd = c2d(sysc,Ts,method)
```

- *sysc* → Sistema de tempo contínuo (função de transferência utilizando a função *tf* ou *zpk*)
- *Ts* → Intervalo de amostragem
- *method* → Método de discretização
  - *'zoh'* — Zero-order hold
  - *'impulse'* — Invariância ao impulso
  - *'tustin'* — Bilinear (Tustin)
  - *'matched'* — Mapeamento de Polo-Zero
- *sysd* → Sistema de tempo discreto (função de transferência)

# Discretização no MATLAB

Criação da função transferência:

$$h = \text{tf}(a,b)$$

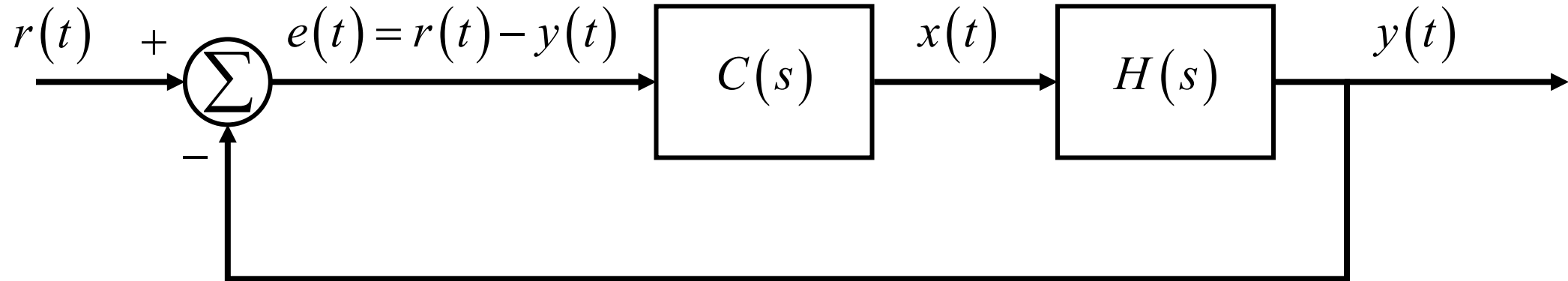
- $a \rightarrow$  Vetor dos coeficientes do numerador
- $b \rightarrow$  Vetor dos coeficientes do denominador

$$h = \text{zpk}(\text{zeros}, \text{poles}, \text{gain})$$

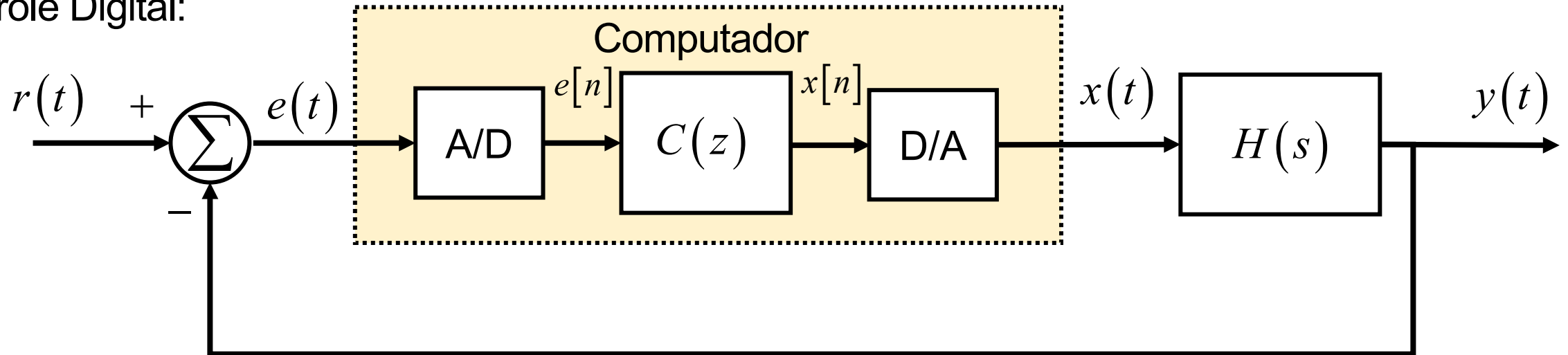
- $\text{zeros} \rightarrow$  Vetor dos zeros
- $\text{poles} \rightarrow$  Vetor dos polos
- $\text{gain} \rightarrow$  Vetor dos ganhos

# Sistemas de Controle Digital

Controle Analógico:

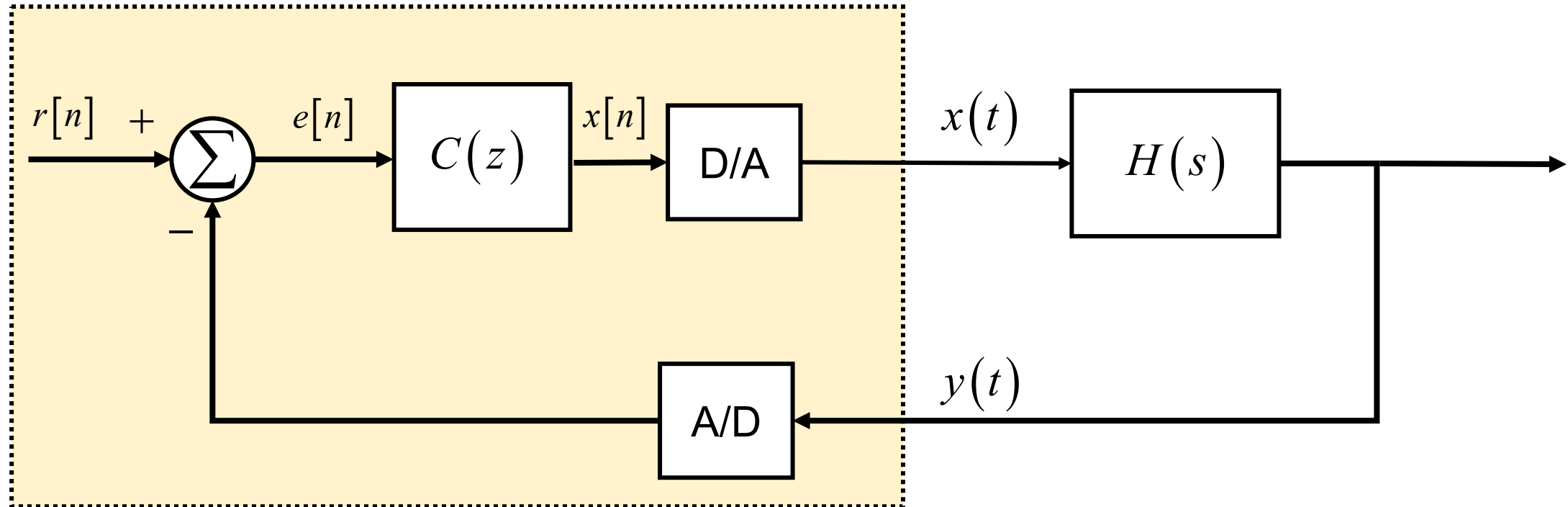


Controle Digital:



# Sistemas de Controle Digital

Controle Digital (referência gerado pelo computador):



# Sistemas de Controle Digital

- O controlador pode ser projetado em tempo contínuo (*root-locus*, interposição de polos, análise frequencial,...) e depois discretizado:
  - Tustin;
  - Mapeamento polo-zero;
  - Invariância ao Degrau (ZOH);
- Para simulação, recomenda-se discretizar a planta por ZOH;

$$\frac{Y(z)}{R(z)} = G(z) = \frac{C(z)H(z)}{1 + C(z)H(z)}$$